

中央大学理工学部 正会員 林 泰造  
中央大学大学院 学生員 尾崎 幸男

はじめに

本報は、直線水路の移動床河床面に発生する河床波とそれに伴う二次流の關係について、河床安定理論の立場から理論解析的研究を行ったものである。解析モデルには滑動粘性係数を const. とおいた三次元(向)水路乱流場の基礎方程式を用いた。将来、解析モデルの精度の向上と併せて非線型理論への拡張を試みるつもりであるが、今回は断面の都合上、簡便化したモデルでの線型理論解の一部分を以下に報告する。

2. 基礎方程式と流速分布

移動床直形断面水路を考え、流下主流方向に x 軸、これに直交して流れの横断方向に y 軸、そして鉛直方向に z 軸をとれば、滑動粘性係数  $\varepsilon = \text{const.}$  とした場合の水流についての基礎方程式は次のようになる。

$$\frac{Du}{Dt} = gI - \frac{1}{\rho} \frac{\partial p}{\partial x} + \varepsilon \nabla^2 u \quad \dots (1)$$

$$\frac{Dv}{Dt} = -\frac{1}{\rho} \frac{\partial p}{\partial y} + \varepsilon \nabla^2 v \quad \dots (2)$$

$$\frac{Dw}{Dt} = -g - \frac{1}{\rho} \frac{\partial p}{\partial z} + \varepsilon \nabla^2 w \quad \dots (3)$$

$$\frac{\partial u}{\partial x} + \frac{\partial v}{\partial y} + \frac{\partial w}{\partial z} = 0 \quad \dots (4)$$

ここに、 $D/Dt = \partial/\partial t + u\partial/\partial x + v\partial/\partial y + w\partial/\partial z$ ,  $\nabla^2 = \partial^2/\partial x^2 + \partial^2/\partial y^2 + \partial^2/\partial z^2$ ,  $I$  は河床勾配である。

流砂については、Einstein の掃流砂量公式(後出)と、河床面上における流砂の連続式(5)式を用いる。

$$\frac{\partial \eta}{\partial t} + \frac{1}{1-\lambda} \left( \frac{\partial \delta s_x}{\partial x} + \frac{\partial \delta s_y}{\partial y} \right) = 0 \quad \text{at } z = \eta \quad \dots (5)$$

ここに、 $\eta$ : 河床変動(擾乱),  $\lambda$ : 河床砂の空隙率,

$\delta s_x, \delta s_y$ : x, y 方向の掃流砂量(容積単位)。

次に主流の流速分布は図-1 のような分布を可るものとし、

$$0 \leq z \leq D \text{ 時 } \frac{U_s - U(z)}{U_*} = \frac{U_s - U_b}{U_*} \left(1 - \frac{z}{D}\right)^2 \quad \dots (6)$$

$$-d \leq z \leq 0 \text{ 時 } \frac{U(z)}{U_*} = \frac{U_b}{U_*} \frac{z+d}{d} \quad \dots (7)$$

と仮定する。但し、 $d \sim 2d \sim O(d)$  時、 $d$  は河床砂の粒径。

$$z = D \text{ 時 } \varepsilon \equiv \alpha U_* D, (U_s - U_b)/U_* \equiv \beta \quad \dots (8) \quad \text{とすれば、} \alpha = 1/(2\beta) \quad \text{または} \quad \beta = 1/(2\alpha) \quad \dots (9)$$

$$\text{の關係が} \text{あり、いづれかの既値ならば、} U_s = U_m + (1/3)\beta U_* \quad U_b = U_m - (2/3)\beta U_* \quad \dots (10)$$

が得られる。ここに、 $U_m = \int_0^1 U(z/D) d(z/D)$  である。Engelund(1969)は  $\alpha = 0.077$  ( $\beta = 6.5$ ) を提案しているが、本研究では Hama(1954)の Defect Law に従って  $\beta = 6$  ( $\alpha = 0.052$ ) を用いる。

ところで、境界条件を上げると以下のようになる。

水表面( $z = D + \xi$ ,  $\xi$  は水面変動)においては、 $\phi = D\phi/Dt = 0$ ,  $\tau_{xz} = \tau_{yz} = 0$ ,  $w = D\xi/Dt$  である。  
河床面( $z = \eta$ )では、 $w = D\eta/Dt$ , 側壁( $y = 0, B$ )において、 $v = 0$  である。

さて、流砂量公式に何をばりかについて問題は残されているが、ここでは一まず Einstein の掃流砂量公式を用いる。 $\delta s_x = f(\eta) \cong 40 \tau_a^3 \text{ at } z = \eta \quad \dots (11)$  但し、 $\tau_a \gg \tau_{ac}$ 。また、 $\delta s_y = (v/u)_{z=\eta} \delta s_x \quad \dots (12)$

ここに、 $f(\eta)$ : Einstein の掃流砂量関数,  $\tau_a = (\tau_{xz})_{z=\eta} / (\rho g(1-\lambda)d)$ : 無次元掃流力,  $\tau_{ac}$ : 限界掃流力。

3. 無次元線型方程式

$$\text{水流は準定常で河床の変形を非定常と} \text{考え、} u = U(z) + u', v = v', w = w', p = P(z) + p', \xi = \xi', \eta = \eta' \quad \dots (13)$$

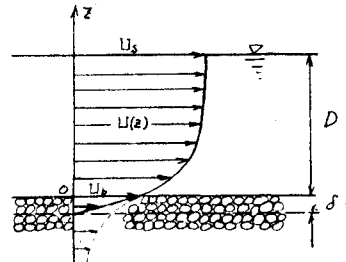


図-1. 流速分布

と置き、基礎方程式と境界条件を微小擾乱に対し線型化する。境界条件については Taylor 展開を利用 (\$z=0\$ と \$z=1\$ の条件に引き直す)。その後に、\$u/U\_m \to u', \dots, x/D \to x, \delta/D \to \delta, \dots, t U\_m/D \to t, \dots, P/(P\_0 D) \to P, \dots, \varepsilon/U\_m D = 1/(2\beta)\$ のように無次元化を行う。こうして得られた無次元球型方程式と境界条件に式(1)の項を代入して擾乱 \$\eta'\$ とこれに扇起される他の擾乱(二次波成分)を代入する(15), (16)式を得る。

$$\eta' = \frac{1}{2} \eta_0 \{ \cos ly e^{ik(x-ct)} + \text{Conjugate} \}, u' = \frac{1}{2} \{ \hat{u} \cos ly e^{ik(x-ct)} + \text{Conjugate} \}, v' = \frac{1}{2} \{ \hat{v} \sin ly e^{ik(x-ct)} + \text{Conjugate} \},$$

$$w' = \frac{1}{2} \{ \hat{w} \cos ly e^{ik(x-ct)} + \text{Conjugate} \}, \phi' = \frac{1}{2} \{ \hat{\phi} \cos ly e^{ik(x-ct)} + \text{Conjugate} \}, \xi' = \frac{1}{2} \xi_0 \{ \cos ly e^{ik(x-ct)} + \text{Conjugate} \} \dots (14)$$

ここで、\$\eta\_0 = \|\eta'\|, \xi\_0 = \|\xi'\|\$ at \$t=0\$, ノルム \$\|\eta'\|\$ は \$\text{Max.} |\eta'|\$ の意味、\$\hat{u}, \hat{v}, \hat{w}, \hat{\phi}\$ は \$z\$ の関数の Complex function, \$k = 2\pi D/L, l = m\pi D/B\$; \$x, y\$ 方向の無次元波数、今回は \$m=1\$ とする、\$c = c\_r + c\_i\$; 無次元複素位相速度、\$\phi\$ : 水面変動の河床擾乱に対し \$\tau\$ の位相差、他の成分の \$\tau\$ の位相差は Complex function に含まれている。

$$ikF^2 U \hat{u} + F^2 \frac{d\hat{u}}{dz} \hat{w} = -ik\hat{\phi} + \frac{1}{2\beta} \frac{U_m}{U_m} F^2 \left( \frac{d^2}{dz^2} - \gamma^2 \right) \hat{u}, \quad ikF^2 U \hat{v} = l\hat{\phi} + \frac{1}{2\beta} \frac{U_m}{U_m} F^2 \left( \frac{d^2}{dz^2} - \gamma^2 \right) \hat{v},$$

$$ikF^2 U \hat{w} = -\frac{d\hat{\phi}}{dz} + \frac{1}{2\beta} \frac{U_m}{U_m} F^2 \left( \frac{d^2}{dz^2} - \gamma^2 \right) \hat{w}, \quad -ik\hat{u} + l\hat{v} + \frac{d\hat{w}}{dz} = 0 \quad \dots (15)$$

$$-ikc\eta_0 + A_2 \left[ \frac{3}{2\beta} \frac{U_m}{U_m} \{ ik \frac{d\hat{u}}{dz} - k^2 \hat{w} \} - 3ik\eta_0 + \frac{l}{U_m} \hat{v} \right] = 0 \quad \text{at } z=0 \quad \dots (16)$$

$$\text{ここで、} F = U_m / \sqrt{gD}, \quad \gamma = \sqrt{k^2 + l^2}, \quad A_2 = 40 \eta_0 \frac{3}{(-1) \delta} \left( \frac{U_m}{D} \right)^{3/2} \frac{1}{F}.$$

境界条件: \$\hat{\phi} = \xi\_0 e^{i\phi}, ikU\hat{\phi} = \hat{w}, \frac{d\hat{u}}{dz} + ik\hat{w} = 2(U\_s - U\_b)\xi\_0 e^{i\phi}\$

$$\frac{d\hat{v}}{dz} - l\hat{w} = 0, \quad \hat{w} = ikU_s \xi_0 e^{i\phi} \quad \dots \text{at } z=1$$

$$\hat{w} = ikU_b \eta_0 \quad \dots \text{at } z=0$$

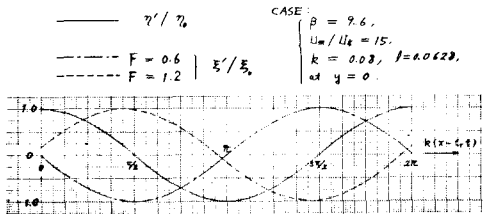


図-2 河床擾乱と水面変動 (\$\eta\_0 = \|\eta'\|, \xi\_0 = \|\xi'\|\$)

(15)式から(17)式を導き、展開の parameter \$\sigma = \sqrt{2\beta(U\_m/U\_m)k}\$ (\$\sigma \gg 1\$) として、WKBJ法で解を求めると(18)式となる。

$$\mathcal{L}(\hat{w}) = \hat{w}'' + \sigma^2 \{ \rho(z, \sigma) \hat{w}' + \mathcal{Q}(z, \sigma) \hat{w} \} + \mathcal{R}(z, \sigma) \hat{w} = 0 \quad \dots (17)$$

$$\hat{w}(z) = A_1 U^{-\sigma/2} \exp\left(\frac{H(z)}{\sqrt{2}} \sigma\right) \int_0^z U^{1/2} dz + A_2 U^{-\sigma/2} \exp\left(-\frac{H(z)}{\sqrt{2}} \sigma\right) \int_0^z U^{1/2} dz \quad \dots (18)$$

この解の成立条件は \$|\sigma| \gg \left| \frac{1}{2} U^{-3} \left( \frac{dU}{dz} \right)^2 - U^{-2} \frac{d^2 U}{dz^2} + \gamma^2 U^{-1} \right|^{1/2} \dots (19)\$

右辺は最大で 1.0 程度であるから \$\sigma \gg 1.0\$ は十分に満足される。

ここで cross-wave component \$\hat{\phi} = l\hat{u} + ik\hat{v} \dots (20)\$ を導入し、

\$\hat{\phi}(z)\$ についての微分方程式を境界条件の許にそとくと、\$\hat{\phi}(z)\$ は

(21)式で表わすし、他の擾乱成分は全て決まり(22)式となる。

$$\hat{\phi}(z) = -\frac{l}{ik} \frac{d}{dz} (l\eta U) \hat{w} \quad Y L(Y) = -\frac{l}{k} \frac{d}{dz} (l\eta U) \hat{w} \quad \Sigma L(\Sigma) \quad \dots (21)$$

$$\hat{u}(z) = -\frac{l^2}{k \gamma^2} \frac{d}{dz} (l\eta U) \hat{w} \quad \Sigma L(\Sigma) + i \frac{l}{\gamma^2} \frac{d\hat{w}}{dz}$$

$$\hat{v}(z) = i \frac{l}{\gamma^2} \frac{d}{dz} (l\eta U) \hat{w} \quad \Sigma L(\Sigma) - \frac{l}{\gamma^2} \frac{d\hat{w}}{dz}$$

$$\hat{\phi}(z) = i \frac{k F^2}{\gamma^2} \frac{dU}{dz} \hat{w} + \frac{k F^2}{\gamma^2} \left\{ \frac{d^2}{dz^2} - (i\sigma U + \gamma^2) \right\} \frac{d\hat{w}}{dz}$$

ここで、\$L(Y)\$: Lommel function, \$Y = i\sigma^{3/2} (\frac{3}{2} T)^{3/2} = i \Sigma\$, \$T = \int\_0^z U^{1/2} dz\$, Lommel function は Airy function で表わす。

#### 4. おわりに

境界条件から \$A\_1, A\_2\$ を決定し、(18), (22)式を(16)式に代入すると \$c\$ によって固有値 \$c\$ が求まる。こうして求められた安定限界曲線の一列を図-4に示した。

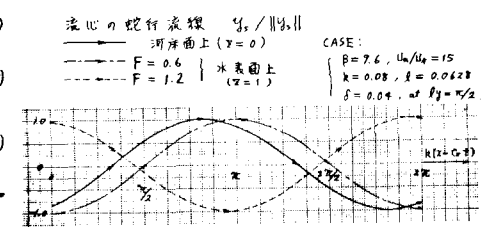


図-3 流線の蛇行波線

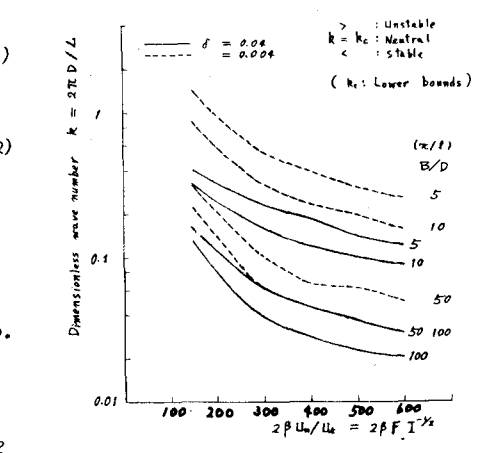


図-4 物理理論による河床の安定限界曲線